

## Лекция 11.

Разница температур плавления (затвердевания) раствора и чистой жидкости (криоскопический эффект).

Нужно проинтегрировать уравнение, полученное на предыдущей лекции

$$\left( \frac{\partial \ln x_1^{(2)}}{\partial T} \right)_p = \frac{\Delta H_{\text{плав}}}{RT^2}$$

$$\int_{x_1^{(2)}=1}^{x_1^{(2)}} d \ln x_1^{(2)} = \int_{T_{\text{плав}}}^{T_{\text{плав}}^0} \frac{\Delta H_{\text{плав}}}{RT^2} dT \quad (1)$$

Левую часть интегрируем от  $x_1^{(2)}$  до  $x_1^{(2)} = 1$ ; правую - от температуры плавления раствора состава  $x_1^{(2)}$  до температуры плавления чистой жидкости  $T^0$ . Получаем:

$$-\ln x_1^{(2)} = -\ln(1 - x_2^{(2)}) \approx x_2^{(2)} =$$

$$-\frac{\Delta H_{\text{плав}}}{R} \left( \frac{1}{T_{\text{плав}}^0} - \frac{1}{T_{\text{плав}}} \right) = -\frac{\Delta H_{\text{плав}}}{R} \left( \frac{T_{\text{плав}} - T_{\text{плав}}^0}{T_{\text{плав}}^0 T_{\text{плав}}} \right)$$

или

$$\Delta T = T_{\text{плав}}^0 - T_{\text{плав}} = \frac{(T_{\text{плав}}^0)^2 R x_2^{(2)}}{\Delta H_{\text{плав}}} \quad (2)$$

При увеличении концентрации растворенного вещества температура плавления понижается (см. рис.1).

Разница температур кипения раствора и чистой жидкости (эбулиоскопический эффект).

Повышение температуры кипения раствора определяется формулой

$$\Delta T = T_{\text{кип}} - T_{\text{кип}}^0 = \frac{(T_{\text{кип}}^0)^2 R x_2^{(2)}}{\Delta H_{\text{кип}}} \quad (3)$$

При увеличении концентрации растворенного вещества температура испарения (кипения) повышается.

При выводе уравнений (2), (3) предполагалось:

- а) Для компонента 1 в растворе выполняется закон Рауля;  
б) Энталпия плавления (испарения) не зависит от температуры.

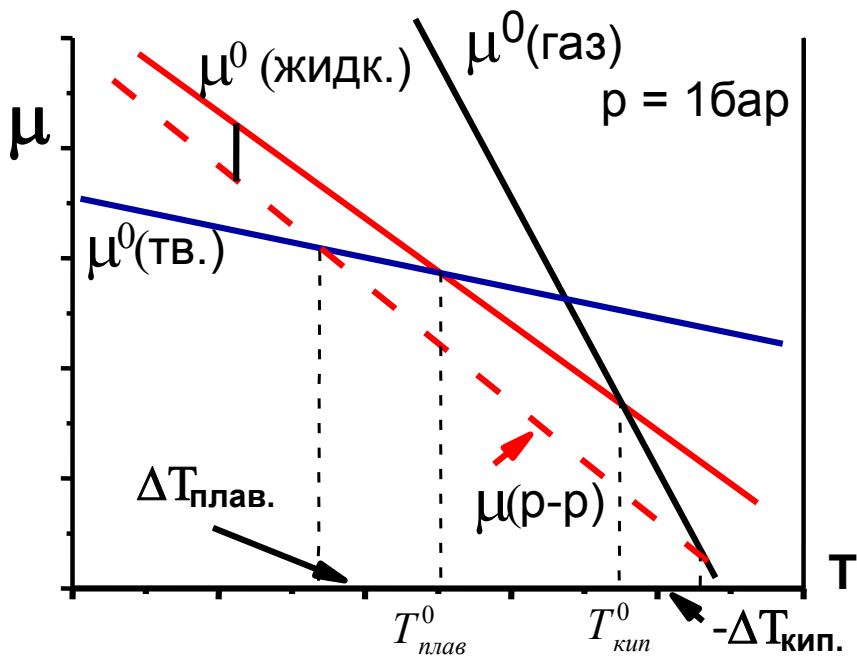


Рис.1. Зависимость химического потенциала компонента 1 от температуры в твердой, газовой, жидкой фазах и жидком растворе. Давление постоянно и равно 1 бару. Объяснение криоскопического и эбулиоскопического эффектов. Видно, что примесь понижает температуру плавления и повышает температуру кипения компонента 1.

Обратите внимание, что в уравнения (2) и (3) входит только мольная доля (концентрация) растворенного вещества. Одна и та же концентрация любого растворенного вещества вызовет одинаковый сдвиг  $\Delta T$  температур плавления и кипения растворителя. Свойства идеальных растворов *коллигативны*, т.е. зависят только от концентрации, и не зависят от химических и физических свойств конкретного растворенного вещества.

#### Оsmотическое равновесие.

Мембранные равновесия - весьма распространенное явление в природе. Наиболее известный пример - осмотическое равновесие в двухкомпонентной системе (см. лекцию 7).

Система состоит из двух фаз. Одна из них - чистый растворитель А. Другая - жидкий раствор В в А. На рис.2 растворителем является вода. В формулах (4)-(7) можем считать А=H<sub>2</sub>O. Фазы разделены мембраной, которая препятствует движению компонента В и позволяет поддерживать фазы под разными давлениями. Условия мембранныго равновесия имеют вид:

$$\begin{aligned} T^{(2)} &= T^{(1)} \\ \mu_A^{(2)} &= \mu_A^{(1)} \end{aligned} \quad (4)$$

Компонент А имеет одинаковый химический потенциал в фазах <sup>(1)</sup> (чистая жидкость) и <sup>(2)</sup> (раствор). Температура фаз одинакова, однако, давления, оказываемые на фазы, не совпадают. Химический потенциал компонента В в фазах <sup>(1)</sup> и <sup>(2)</sup> не одинаков.

Перепишем уравнение (4) для химического потенциала, считая, что для А в фазе <sup>(2)</sup> выполняется закон Рауля, (т.е.  $x_A \rightarrow 1, x_B \rightarrow 0$ ):

$$\mu_A^{(1)} = \mu_A^0(T, p^{(1)}) = \mu_A^{(2)} = \mu_A^0(T, p^{(2)}) + RT \ln x_A^{(2)} \quad (5)$$

Давления над фазами <sup>(1)</sup> и <sup>(2)</sup> не совпадают, поэтому условие (5) может быть выполнено, если

$$\mu_A^0(T, p^{(1)}) = \mu_A^0(T, p^{(1)}) + \int_{p^{(1)}}^{p^{(2)}} \frac{\partial \mu_A^0(T, p)}{\partial p} dp + RT \ln x_A^{(2)} \quad (6)$$

Можно записать:

$$\int_{p^{(1)}}^{p^{(2)}} \frac{\partial \mu_A^0(T, p)}{\partial p} dp = \int_{p^{(1)}}^{p^{(2)}} V_A^0 dp \approx V_A^0 * (p^{(2)} - p^{(1)}) = V_A^0 * \pi \quad (7)$$

Величину  $\pi$  называют осмотическим давлением. Глядя на уравнение (7), видим, что  $\pi$  положительно, т.е. давление на раствор должно быть больше, что бы сдержать перетекание чистого растворителя сквозь мембрану.

Объединяя (6) и (7), получаем:

$$\pi V_A^0 = -RT \ln x_A^{(2)} = -RT \ln(1 - x_B^{(2)}) \approx RT x_B^{(2)}$$

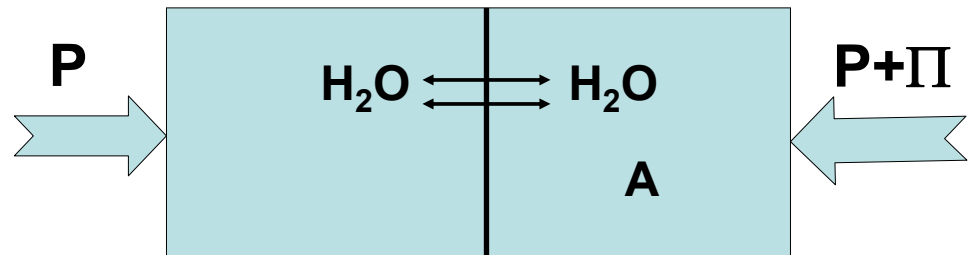
Приблизительное равенство справа выполняется, поскольку  $x_B$  мало.

Закон Вант-Гоффа для осмотического давления имеет вид:

$$\pi = \frac{RT x_B^{(2)}}{V_A^0} \quad (8)$$

Рис. 3 поясняет причину возникновения осмотического давления при мембранным равновесии. Если давление на раствор и чистый растворитель будет одинаковым, химический потенциал чистого А всегда будет выше химического потенциала А в растворе. Чистый растворитель в этом случае должен самопроизвольно двигаться сквозь мембрану в раствор. Такой процесс понижает энергию Гиббса системы. Химические потенциалы А в двух фазах могут выровняться, только если давление на раствор будет выше, чем давление на чистый растворитель.

$$x_{H_2O} > x_A$$



$$\mu_{H_2O}^0(T, p) = \mu_{H_2O}^0(T, p + \Pi) + RT \ln x_{H_2O}$$

Рис. 2 Осмотическое (мембранные) равновесие. Фаза раствора (справа) находится под более высоким давлением.

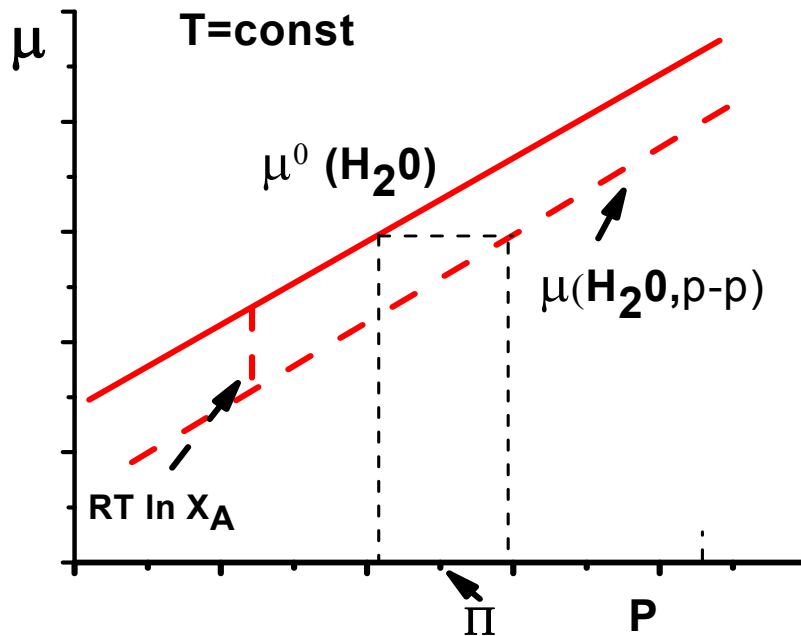


Рис.3. Зависимость химического потенциала растворителя от давления. Химические потенциалы растворителя в чистой жидкости и растворе могут выровняться только, если фаза раствора находится под более высоким давлением !

Оsmотический коэффициент  $\Phi$  характеризует отклонения от закона Вант-Гоффа в неидеальных растворах. Оsmотический коэффициент определяется с помощью уравнений (5) и (8)

$$\varphi = \frac{\mu_1^0(p^{(1)}, T) - \mu_1^0(p^{(2)}, T)}{RT \ln x_A^{(2)}} \approx \frac{\pi_{\text{nab}} V}{RT x_B^{(2)}} = \frac{\pi_{\text{nab}}}{\pi_{B-\Gamma}} \quad (9)$$

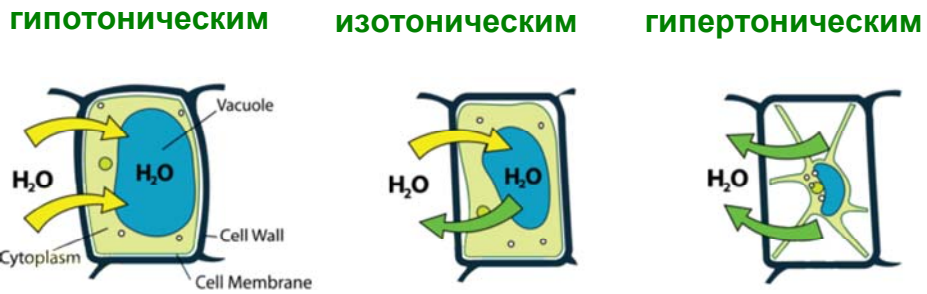
где  $\pi_{\text{nab}}$ ,  $\pi_{B-\Gamma}$  - осмотические давления, соответственно, наблюдаемое и рассчитанное по уравнению (8).

Оsmотический коэффициент равен единице для идеальных растворов. Для неидеальных растворов наблюдаемое осмотическое давление отличается от давления, рассчитанного по уравнению (8) и, следовательно,  $\varphi \neq 1$ . В простейшем случае отклонения от закона Вант-Гоффа связаны с диссоциацией/ассоциацией компонента B в растворе. Пусть компонент B – поваренная соль NaCl, которая в воде (компонент A) полностью диссоциирует на ионы (из одной молекулы образуется два иона). Для компонента A, по-прежнему, выполняется закон Рауля, однако, мольную долю второго компонента нужно увеличить вдвое. Согласно уравнению (8) осмотическое давление будет в два раза выше, а осмотический коэффициент формально равен двум. Наоборот, ассоциация второго компонента (при сохранении идеальности) приводит к снижению осмотического давления. Измерения осмотического давления – это метод исследования равновесий ассоциации/диссоциации в растворах.

Два раствора в одном том же растворителе называются *изотоническими*, если между ними устанавливается мембранные равновесие при  $\pi = 0$ . Изотонические растворы вызывают появление одинакового осмотического давления при мембранным равновесии с чистым растворителем.

Оsmотические равновесия с участием водных растворов наблюдаются в живых организмах. Физиологический раствор – это внешний раствор, находящийся в естественном осмотическом равновесии с внутриклеточной жидкостью. Физиологический раствор изотоничен внутриклеточной жидкости. Простейший физиологический раствор содержит 9 г NaCl на литр воды, что соответствует при мембранным равновесии с чистой водой осмотическому давлению 8 бар. При достижении мембранным равновесия с внутриклеточной жидкостью физиологический раствор не вызывает появления избыточного (положительного или отрицательного) внутриклеточного давления. Оsmотическое давление внутри клетки создается за счет упругого растяжения стенок мембраны. При контакте с гипотоническим раствором (меньшая концентрация соли) для установления осмотического равновесия клетка всасывает жидкость и раздувается. Наоборот, контакт клетки с гипертоническим раствором вызывает диффузию воды наружу, и сжатие клетки (см. рисунок 4)

**Клетка окружена:**



**растворами.**

Рис. 4. Для установления мембранных равновесия с гипотоническим раствором клетка пропускает воду внутрь, а с гипертоническим – выбрасывает наружу.

Фазовые равновесия в двухкомпонентной системе. Равновесие жидкость – пар с участием двухкомпонентного идеального раствора.

**Е. стр. 269-275; П. стр.111-115, Э. стр. 337-342.**

Равновесие идеальный жидкий раствор - пар описывается законом Рауля:

$$p_A(x_A) = p_A^0(x_A = 1) \times x_A; \quad p_B(x_A) = p_B^0(x_A = 0) \times (1 - x_A) \quad (10)$$

Для первого (A) и второго (B) компонентов выполняется закон Рауля при всех концентрациях  $x_A$ .

Для суммарного давления получаем:

$$p_A(x_A) + p_B(x_A) = P(x_A) = p_A^0(x_A = 1) \times x_A + p_B^0(x_A = 0) \times (1 - x_A) \quad (11)$$

*Положительные и отрицательные отклонения от идеальности.*

Если система не подчиняется закону Рауля, говорят об отклонениях от идеальности. Можно записать, например, для второго компонента:

$$\frac{p_A(x_A)}{p_A^0(x_A=1)} = a_A(x_A); \quad \gamma(x_A) = \frac{a_A(x_A)}{x_A} = \frac{p_A(x_A)}{p_A^0(x_A=1) \times x_A} \quad (12)$$

При  $\gamma > 1$  отклонения называются положительными, при  $\gamma < 1$  – отрицательными  
Диаграммы состояния двухкомпонентной системе.

**Э. стр. 361-363; П. стр. 126-129; Е. стр. 296-303.**

В таких системах уравнение состояния включает четыре переменных:

$$G = f(T, p, n_1, n_2)$$

В закрытой системе при постоянном числе молей остается три переменных:

$$G = f(T, p, x_1)$$

$x_1$  - состав системы.

Спроектируем эту диаграмму в трехмерное пространство и получим объемную диаграмму Т-Р-Х. На такую проекцию попадут только фазы и фазовые равновесия, дающие минимально возможные значения энергии Гиббса при заданных Т, Р, Х.

Обычные фазовые диаграммы двухкомпонентных систем – это сечения диаграмм Т-Р-Х при постоянном давлении (плоские диаграммы Т-Х, Р = const) и температуре (плоские диаграммы Р-Х, Т = const).

На диаграмме Р-Т в однокомпонентной системе равновесие двух фаз изображалось одной линией. Температуры и давления равновесных фаз должны быть равны.

Однако, на диаграммах Т-Х и Р-Х в двухкомпонентной системе равновесие двух фаз изображается двумя линиями, поскольку составы равновесных фаз не одинаковы. Появляются две линии, составы двух равновесных фаз!

### Диаграммы Р-Х

Принято по оси Х откладывать два состава, состав жидкости  $X_1^{(ж)}$  и состав пара  $X_1^{(п)}$ . На графике появляются зависимости общего давления от состава жидкости и от состава пара.

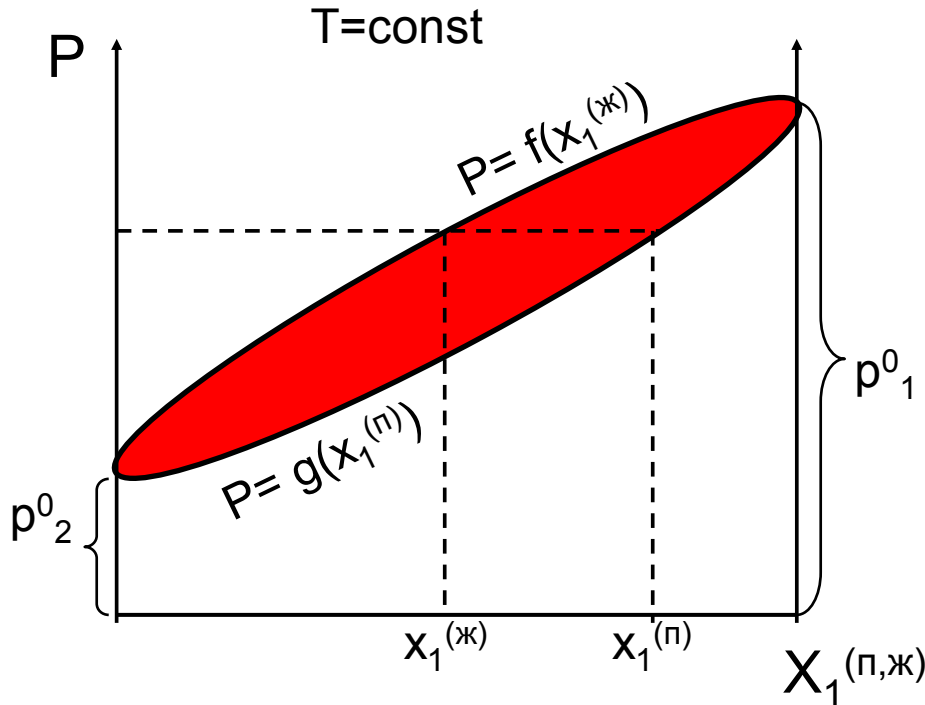


Рис. 5. Диаграмма P-x ( $T=\text{const}$ ) для двухкомпонентной системы. Составы  $X_1^{(ж)}$  и  $X_1^{(п)}$ , соответствующие одному давлению, это составы жидкого раствора и насыщенного пара, находящиеся в равновесии

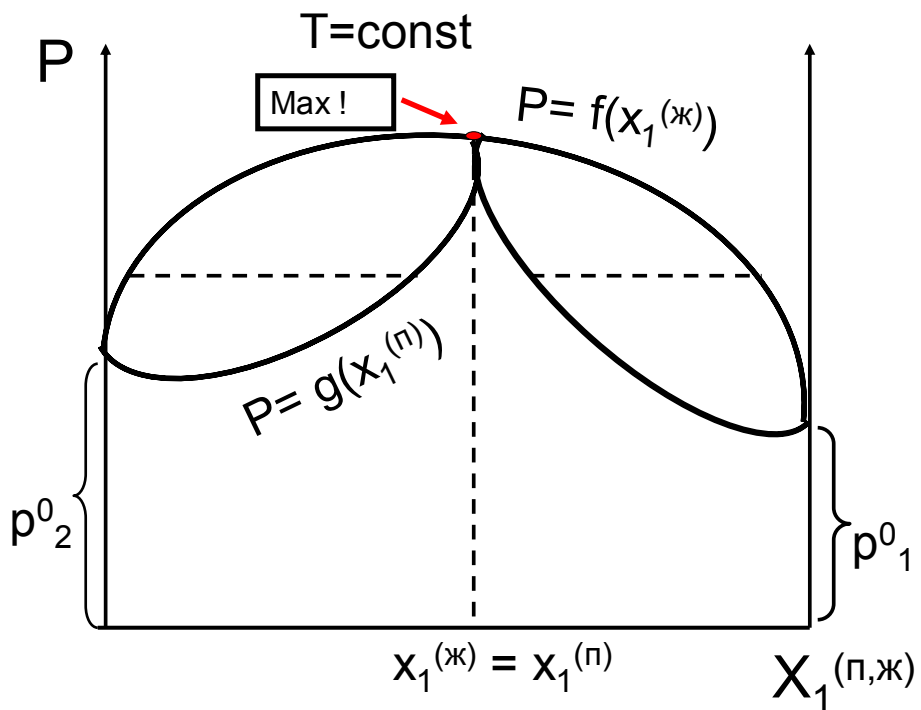


Рис. 6. Диаграмма P-x ( $T=\text{const}$ ) для двухкомпонентной системы. В точке максимума (экстремума) общего давления возникает азеотроп.

Законы Гиббса-Коновалова.

Рассмотрим двухфазное (пар-жидкость) равновесие в двухкомпонентной системе. Для обеих фаз (пар и жидкость) запишем уравнения Гиббса-Дюгема:

$$-S^{(n)}dT + V^{(n)}dP - x_1^{(n)}d\mu_1 - (1-x_1^{(n)})d\mu_2 = 0 \quad (13)$$

$$-S^{(ж)}dT + V^{(ж)}dP - x_1^{(ж)}d\mu_1 - (1-x_1^{(ж)})d\mu_2 = 0 \quad (14)$$

При записи (13) и (14) учтены условия фазового равновесия.

Пусть  $dT = 0$ . Исключим из (13,14)  $d\mu_2$ :

Уравнение (14) разделим на  $(1-x_1^{(ж)})$  и умножим  $(1-x_1^{(n)})$  и, затем, вычтем (14) из (13):

$$\left\{ V^{(n)} - \frac{V^{(ж)}(1-x_1^n)}{(1-x_1^{ж})} \right\} dp - \left\{ x_1^n - \frac{x_1^{(ж)}(1-x_1^{(n)})}{(1-x_1^{(ж)})} \right\} d\mu_1 = 0 \quad (15)$$

Приведем к общему знаменателю скобку перед дифференциалом химического потенциала:

$$\left\{ \frac{x_1^{(n)} - x_1^{(n)}x_1^{(ж)} - x_1^{(ж)} + x_1^{(ж)}x_1^{(n)}}{(1-x_1^{(ж)})} \right\} = \frac{x_1^{(n)} - x_1^{(ж)}}{1-x_1^{(ж)}},$$

В результате

$$\left\{ V^{(n)} - \frac{V^{(ж)}(1-x_1^n)}{(1-x_1^{ж})} \right\} dp - \left\{ \frac{x_1^n - x_1^{(ж)}}{(1-x_1^{(ж)})} \right\} d\mu_1 = 0 \quad (16)$$

$dp=0$  (точка максимума или минимума общего давления) возможна тогда и только тогда, когда скобка перед дифференциалом химического потенциала равна нулю, следовательно

$$x_1^{(n)} = x_1^{(ж)}$$

Экстремум общего давления всегда совпадает с азеотропом. (Второй закон Коновалова) (см. рис.6).

*Первый закон Коновалова: пар всегда обогащен более летучим компонентом:*

$$\left( \frac{\partial p}{\partial x_1^{(\text{ж})}} \right)_T > 0, \text{ если } x_1^{(\text{п})} > x_1^{(\text{ж})} \quad (17)$$

Продифференцируем уравнение (16) по  $x_1^{(\text{ж})}$ :

$$\left\{ V^{(n)} - \frac{V^{(\text{ж})}(1-x_1^{(n)})}{(1-x_1^{(\text{ж})})} \right\} \left( \frac{\partial p}{\partial x_1^{(\text{ж})}} \right)_T = \left\{ \frac{x_1^{(n)} - x_1^{(\text{ж})}}{(1-x_1^{(\text{ж})})} \right\} \left( \frac{\partial \mu_1}{\partial x_1^{(\text{ж})}} \right)_T$$

Можно считать, что  $\left( \frac{\partial \mu_1}{\partial x_1^{(\text{ж})}} \right)_T > 0$  и  $\left\{ V^{(n)*} - \frac{V^{(\text{ж})*}(1-x_1^n)}{(1-x_1^{\text{ж}})} \right\} > 0$ ,

В этом случае выполняется соотношение (17).

### Диаграммы Т-х

Посмотрим на простейшую диаграмму (простая эвтектика, (рис.7) с точки зрения правила фаз:

$$c = \kappa + 2 - \varphi \quad (f = c + 2 - p)$$

Одна степень свободы - двухфазное равновесие, линия. Трехфазное равновесие - точка и, наконец, одна фаза - это две степени свободы. В любой точке фазовой диаграммы в равновесии присутствуют фазы (или фаза) которые обеспечивают минимум энергии Гиббса в системе.

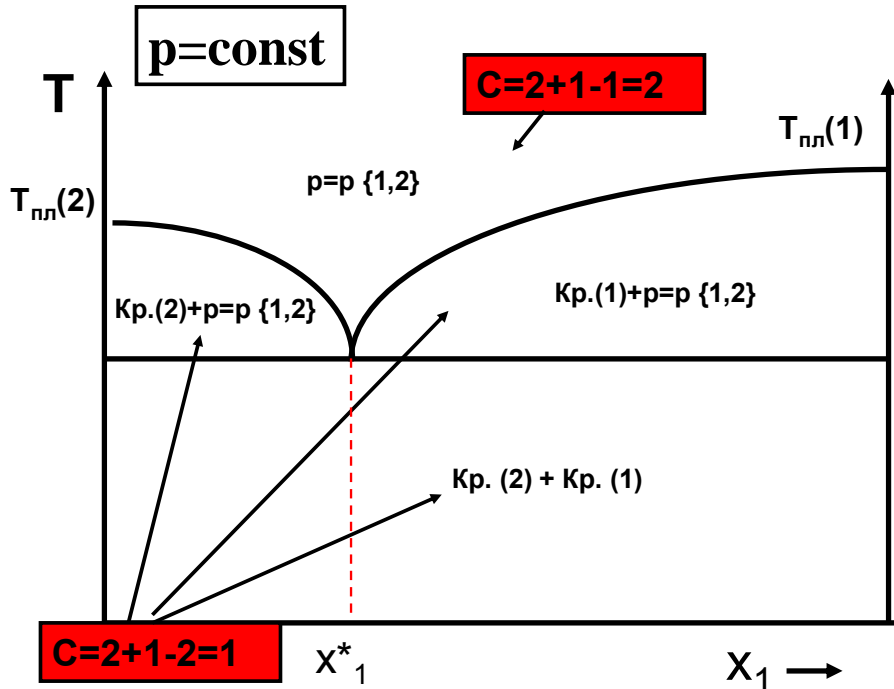


Рис. 7. Диаграмма Т-х двухкомпонентной системы с простой эвтектикой.

В эвтектической точке - три фазы в равновесии, две твердых –  $Kp.(1)$  и  $Kp.(2)$  и раствор состава  $X^*_1$ . Число степеней свободы при постоянном давлении равно нулю.

Некоторую трудность вызывает определение числа степеней свободы в двухфазных областях.  
 Рассмотрим, например, область низких температур. Тут присутствуют две фазы  $Kp.(1)$  и  $Kp.(2)$ . Единственной степенью свободы является температура.

Подробное рассмотрение диаграммы с конгруэнтно плавящимся соединением (рис. 8), , инконгруэнтно плавящимся соединением (рис. 9).

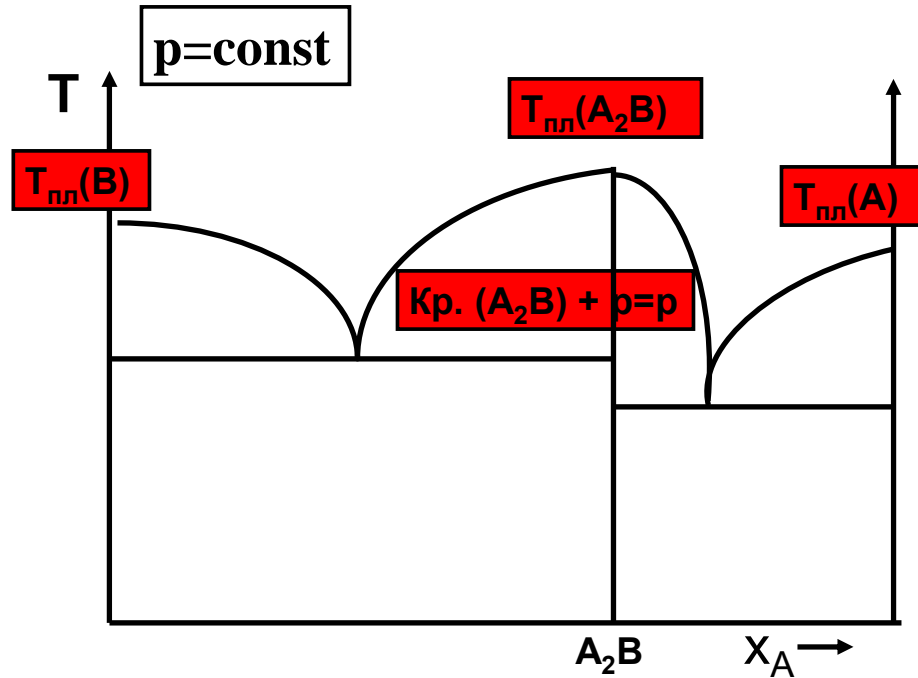


Рис. 8. Диаграммы Т-Х с конгруэнтно плавящимся соединением  $A_2B$ .

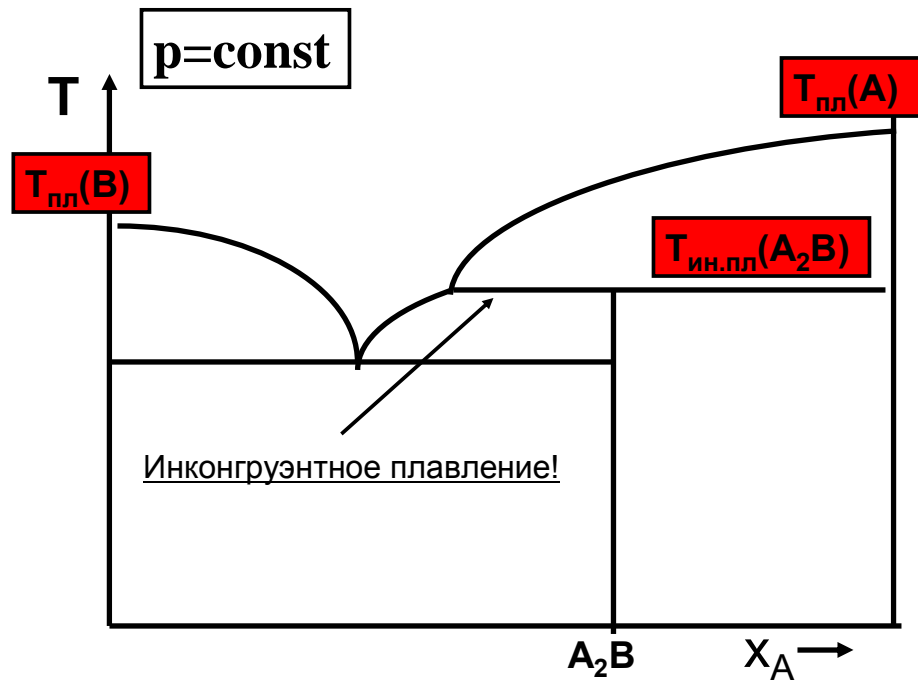


Рис. 9. Диаграммы Т-Х с инконгруэнтно плавящимся соединением  $A_2B$ .